

不透水層への遮水壁打込みに伴う地下水挙動に関する砂層実験

徳島大学工学部 正員 尾島 勝
 徳島大学工学部 正員 ○西内 剛三
 大豊建設 正員 蔵本 文明

1. まえがき 本研究は、不透水層への遮水壁打込みに伴う地下水の水面形形状および流量の変化特性を実験的に解析し、遮水壁打込に伴う地下水の貯留効果並びに遮水効果の定量評価を試みたものである。この種の解析には *Holt-Shaw* モデルを用いた2,3の研究例がみられるが、我々はより現実的であるものとして砂層モデルを用いた現象解析を試みた。

2. 実験モデルおよび実験方法 図-1に示す砂層実験モデルを形成し、表-1に示した実験条件を与える。この砂層の物理諸量は、 $G_s=2.69$, $d_o=1.7\text{mm}$, $U_c=2.00$, $k=0.17\text{cm/sec}$, $\lambda=0.32$ であり、均質等方性とはみなす。実験方法としては、所定の動水勾配(I)の定常流を作った後、所定の間隔(d)まで遮水壁(厚さ3mm)を迅速に打設し、砂層内測点の水位を2)メータで取り出して打設開始と同時に5秒間隔で写真記録するものとす、

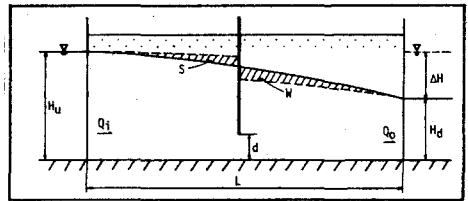


図-1 実験モデル

表-1 実験諸元

流入流量(Q_i)と流出流量(Q_o)を1分毎に計測する。

なお、図-1中のS, Wは、初期定常水面形と任意時刻における水面形から計算される遮水壁上流側の貯留量および下流側の減少量である。

	H_u (cm)	H_d (cm)	d(cm)	ΔH (cm)	L(cm)	$I=\Delta H/L$	$n=1-2d/(H_u+H_d)$
A-1 A-2 A-3	25.0	15.0	10.0	10.0	300.0	1/30	0.504
B-1 B-2 B-3	25.0	15.0	6.0	10.0	300.0	1/30	0.702
C-1 C-2 C-3	25.0	15.0	3.0	10.0	300.0	1/30	0.851
D-1 D-2 D-3	29.0	14.0	10.0	15.0	300.0	1/20	0.540
E-1 E-2 E-3	29.0	14.0	6.0	15.0	300.0	1/20	0.723
F-1 F-2 F-3	29.0	14.0	3.0	15.0	300.0	1/20	0.862

3. 実験結果の解析 $I=1/20$ の場合の定常水面形

を図-2に示した。 $I=1/20$ の場合のそれと比較考察して次のことがわかった。

- i) 動水勾配が同じであれば、遮へい率(n)が大きければ、また遮へい率が同じであれば動水勾配が大きければ初期定常水面形からの変化量は大きくなるが、その絶対量は予想外に小さい。
- ii) 遮水壁より上流側の水面形は上に凸、下流側のはれは下に凸の形状を示しているが、この曲線の相違は地下水の挙動解析に際し重要な特性であると考えられる。
- iii) 上流側の貯留量より下流側の減少量の方が大きく、貯留全量としての貯水量は遮水壁打込に伴ってむしろ減少するに注意する必要がある。

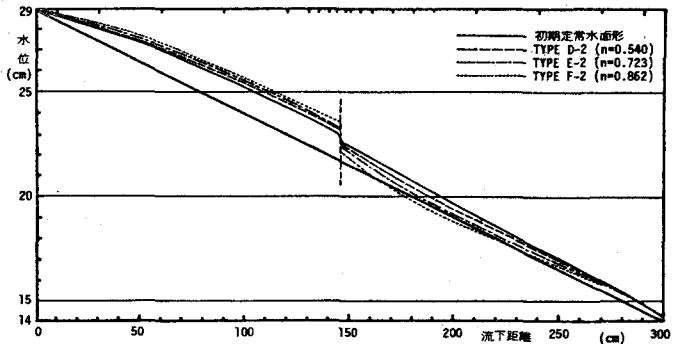


図-2 定常水面形 ($I=1/20$)

図-3には遮水壁打込後の水面形の遷移過程の一例を示した。図に示した各時刻における水面形は、遮水壁打込に伴う過剰間隙水圧の発生と消散過程を含まずにエッジ水頭変

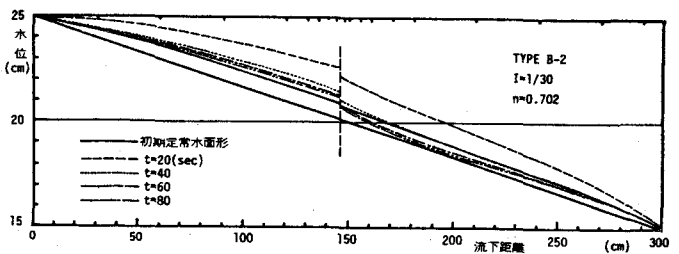


図-3 非定常水面形

化を考慮したものは説明し得ない。これは、Hale-Shaw モデルでは起り得ない現象であり、今後実験方法の改善も含めて検討すべき問題である。

表-2は、定常時における貯留量(S)と減少量(W)の値を示したものであり、図-4にその変化特性を示した。図の縦軸には完全止水時の貯留量(減少量にも等しい)S_Tに対する無次元値としてS, Wを評価している。

以下の図・表より次のことがわかった。

i) Iが同じであれば、nが大きければS, Wともに増大し、その変化率はnの大きよりに大きく、例えばBからCへnは約20%増大ではSは33%, Wは75%の増大する。ii) nがほぼ同じであれば、Iが大きければS, Wともにその絶対量は大きくなるが、S_Tに対する比の値には大きな差はない。iii) 実験値に多少のバラツキはあるが、Iの相違による影響はWよりもSの変化特性により強く現れることが推察される。

表-3は、定常時における流出流量(Q_{os})と遮水壁打設前の定常流量(Q_{of})と比較して示したものであり、この表から、i) nが同じであれば、Q_{os}とQ_{of}に対する比の値は動水勾配の相違による影響を受けて一定であること、ii) nが大きくなるほどQ_{os}/Q_{of}の値は減少するが、その減少率はnが85-86%になっても13-15%と意外に小さいことがわかる。

図-5は、動水勾配Iが1/30の場合の砂層への侵入流量(Q_{it})と砂層からの流出流量(Q_{ot})の経時変化を初期流出流量(Q_{of})に対する無次元値として示したものである。この図をみれば、いずれの実験タイプにおいても遮水壁打設直後の一合間のQ_{it}はQ_{of}よりも増加しており、nの最も大きいC-3では約11%増であること、一方、Q_{ot}はいずれのタイプでも速に初期侵入流量よりも減少しており、その減少の割合はnの増大とともに増加する傾向にありCタイプでは約20%減と減ることはわかる。この図に示された流量変化の様相は、遮水壁を打設することによって初期定常流の水が一端切りこることに伴い、下流側では一端自由流出の性質を帯び、上流側では動水勾配の相違に基づく初期流速の相違と遮へい率の相違の両者によって異なる遮断効果が発生すると考えることにより説明できる。また、流量が定常に達するまでの時間は、遮へい率が大きくなるほど長くなる傾向のみならず、地下水浸透の遅延効果が顕著である。

4. おわりに
砂層実験によって非定常現象の解析を行うにあたっては、遮水壁の打設方法および砂層内水位の計測方法が重要なポイントであり、今後この点を改良してさらに詳しい解析へと進めたい。

参考文献 1) 中村康昭・畑中一夫：第33周年講義要集, 1970. 2) 藤原明・成田芳久：第50周年講義要集, 1980.

表-2 定常時における貯留量と減少量

I	S _T (cm ³)	各観量	A-1 A-2 A-3			B-1 B-2 B-3			C-1 C-2 C-3																						
			n	S _s (cm ³)	W _s (cm ³)	S _s /S _T	W _s /S _T	n	S _s (cm ³)	W _s (cm ³)	S _s /S _T	W _s /S _T	n	S _s (cm ³)	W _s (cm ³)	S _s /S _T	W _s /S _T														
1/30	22500	n	0.504	0.504	0.504	0.702	0.702	0.702	0.851	0.851	0.851	S _s (cm ³)	775	690	905	1191	1443	1223	1852	1850	1380	W _s (cm ³)	1201	1307	1593	2130	1696	1632	2940	3121	3511
		S _s /S _T	0.034	0.031	0.040	0.053	0.064	0.054	0.082	0.084	0.061		0.053	0.058	0.071	0.095	0.075	0.073	0.131	0.139	0.156		0.053	0.058	0.071	0.095	0.075	0.073	0.131	0.139	0.156
1/20	33750	n	0.540	0.540	0.540	0.723	0.723	0.723	0.862	0.862	0.862	S _s (cm ³)	—	1531	1439	2231	2060	1772	3344	3155	3043	W _s (cm ³)	—	1880	1374	3590	3366	3158	5270	4822	4622
		S _s /S _T	—	0.045	0.043	0.066	0.061	0.053	0.099	0.093	0.090		—	0.045	0.043	0.066	0.061	0.053	0.099	0.093	0.090		—	0.056	0.041	0.106	0.100	0.094	0.156	0.143	0.137

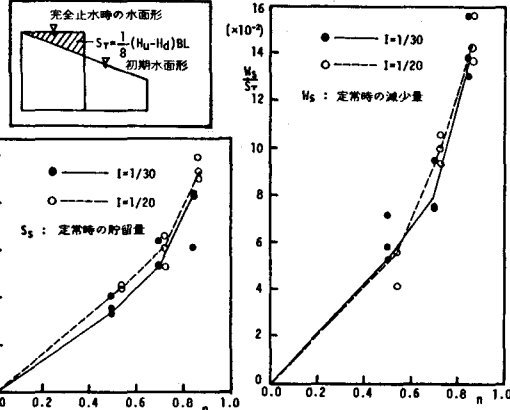


図-4 貯留量と減少量の変化特性

表-3 初期流出流量と定常流出流量

I	各観量	A-1 A-2 A-3			B-1 B-2 B-3			C-1 C-2 C-3												
		Q _{of} (cm ³ /min)	Q _{os} (cm ³ /min)	Q _{os} /Q _{of}	n	Q _{of} (cm ³ /min)	Q _{os} (cm ³ /min)	Q _{os} /Q _{of}	n	Q _{of} (cm ³ /min)	Q _{os} (cm ³ /min)	Q _{os} /Q _{of}	n							
1/30	Q _{of} (cm ³ /min)	365	370	370	388	388	361	390	389	394	Q _{os} (cm ³ /min)	344	352	345	349	351	334	341	340	331
	Q _{os} /Q _{of}	0.94	0.95	0.93	0.90	0.90	0.93	0.87	0.87	0.86	n	0.504	0.504	0.504	0.702	0.702	0.702	0.851	0.851	0.851
1/20	Q _{of} (cm ³ /min)	575	570	567	567	565	568	568	561	562	Q _{os} (cm ³ /min)	549	539	540	511	511	520	480	486	487
	Q _{os} /Q _{of}	0.95	0.95	0.95	0.90	0.90	0.92	0.85	0.87	0.87	n	0.540	0.540	0.540	0.723	0.723	0.723	0.862	0.862	0.862

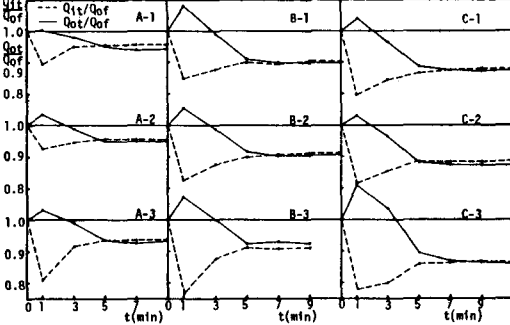


図-5 侵入流量と流出流量の経時変化